

**Programa de Monitoramento da Biodiversidade Aquática da
Área Ambiental I – Porção Capixaba do Rio Doce e Região
Marinha e Costeira Adjacente**

A6MCS7 – Material Suplementar 7

Anexo 6 Megafauna - Cetáceos

RT-39 RRDM/FEV 22

RA2021 PMBA/Fest-RRDM

Vitória,

Fevereiro de 2022

Alterações nas concentrações de hidrocarbonetos policíclicos aromáticos (HPAs) em cetáceos

Figura 1: Locais de encalhe de *Sotalia guianensis* (Região 1-São Mateus, n= 69; Região 2-Rio Doce, n= 9; Região 3-Barra do Riacho, n= 19; Região 4-Metropolitana, n= 31; Região 5-Extremo Sul, n=29) coletados no Espírito Santo para análise de contaminantes, isótopos estáveis, idade e reprodução durante o Ano 1, Ano 2 e Ano 3 do PMBA/Fest-RRDM.

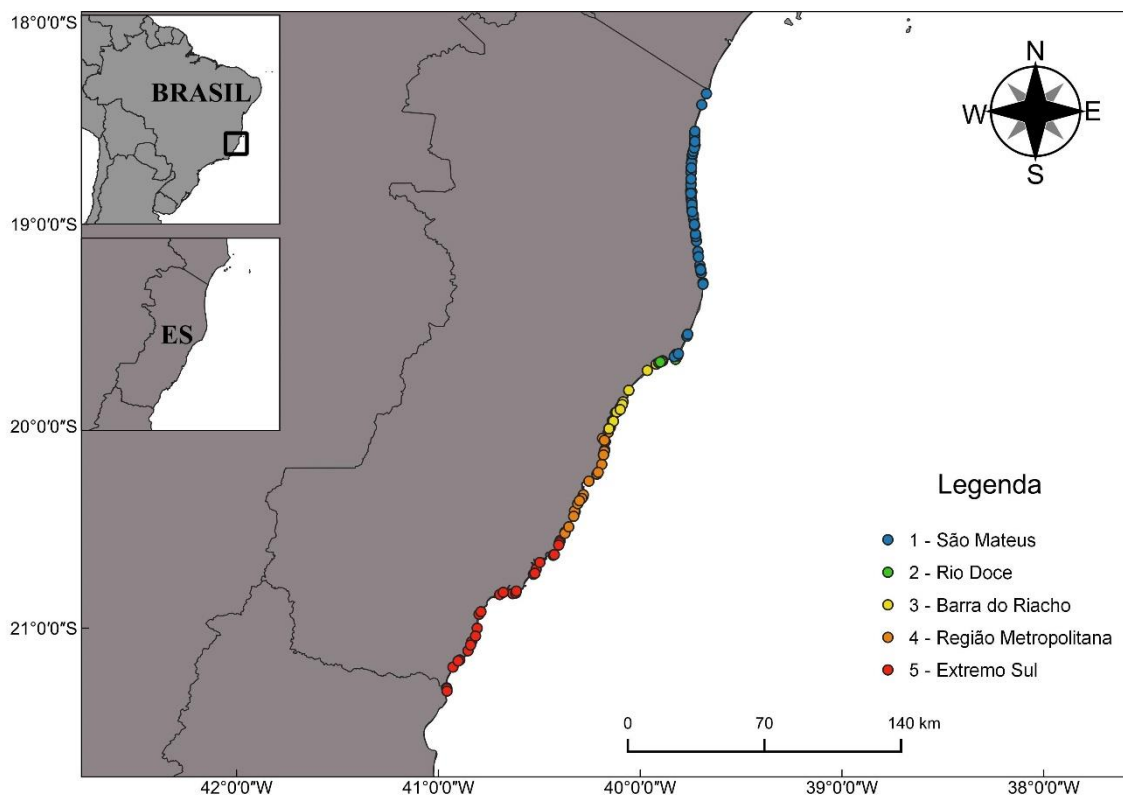


Figura 2: Locais de encalhe de *Pontoporia blainvillei* (Região 1-São Mateus, n=16; Região 2-Rio Doce, n= 1; Região 3-Barra do Riacho, n= 1) coletados no Espírito Santo para análise de contaminantes, isótopos estáveis, idade e reprodução durante o Ano 1, Ano 2 e Ano 3 do PMBA/Fest-RRDM.

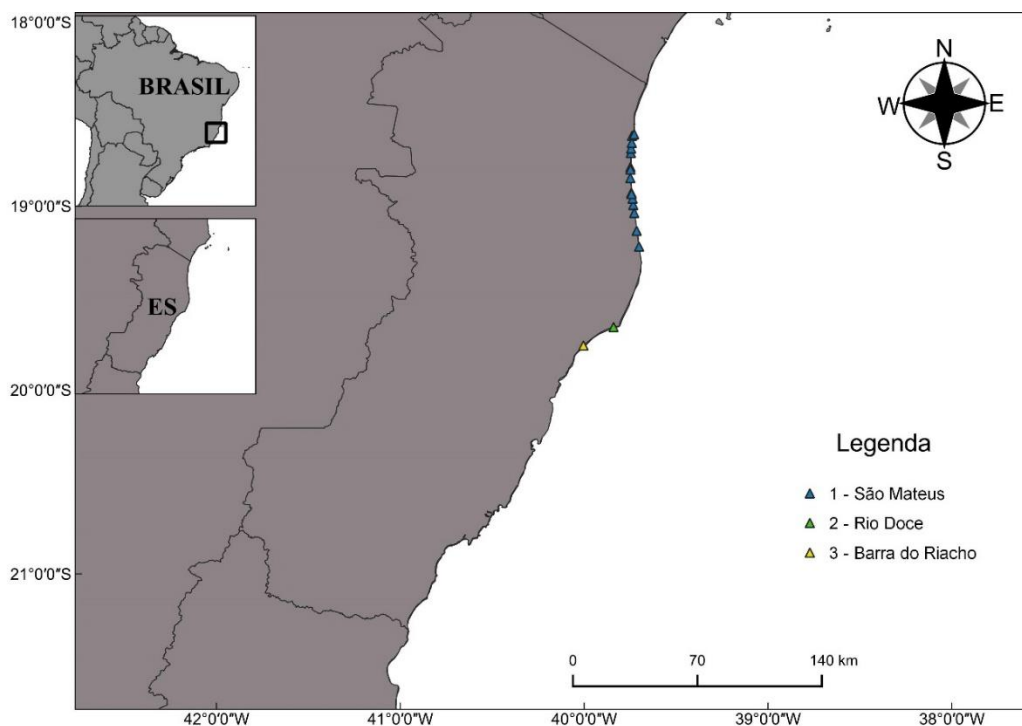


Figura 3: Somatório de hidrocarbonetos policíclicos aromáticos totais no tecido hepático de botos-cinza, *Sotalia guianensis*, expressas em $\mu\text{g}\cdot\text{g}^{-1}$ de peso lipídico, coletados nas cinco regiões no estado do Espírito Santo, Brasil analisados durante o Ano 1, Ano 2 e Ano 3 do PMBA/Fest-RRDM (1= São Mateus; 2=Rio Doce; 3= Barra do Riacho; 4= Região Metropolitana; 5= Extremo Sul do ES).

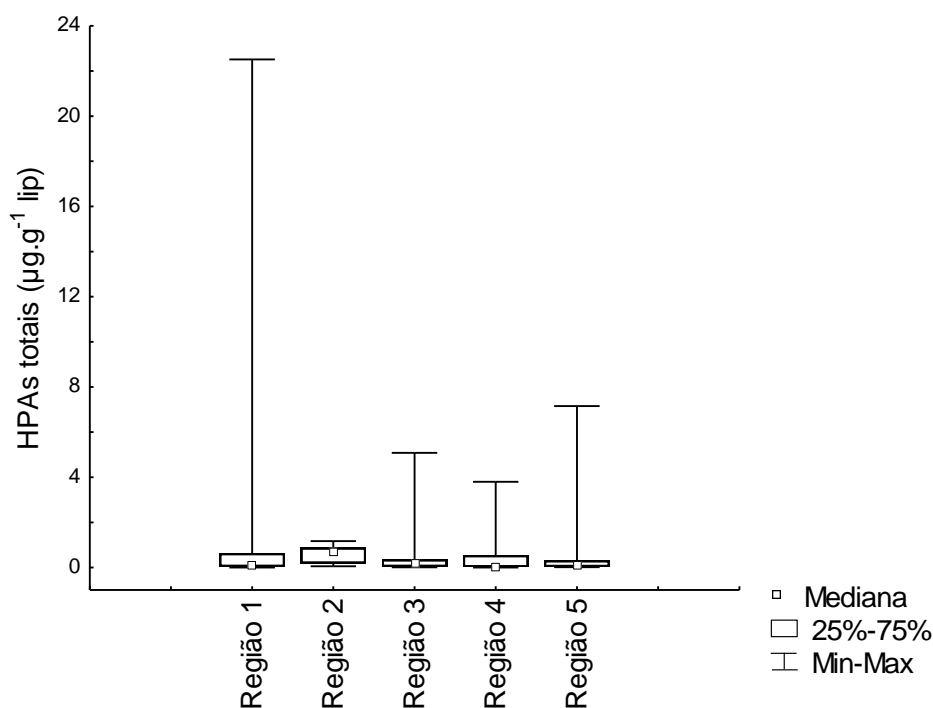


Figura 4: Somatório de hidrocarbonetos policíclicos aromáticos USEPA (HPAs USEPA) no tecido hepático de botos-cinza, *Sotalia guianensis*, expressas em $\mu\text{g.g}^{-1}$ de peso lipídico, coletados nas cinco regiões no estado do Espírito Santo, Brasil analisados durante o Ano 1, Ano 2 e Ano 3 do PMBA/Fest-RRDM (1= São Mateus; 2=Rio Doce; 3= Barra do Riacho; 4= Região Metropolitana; 5= Extremo Sul do ES).

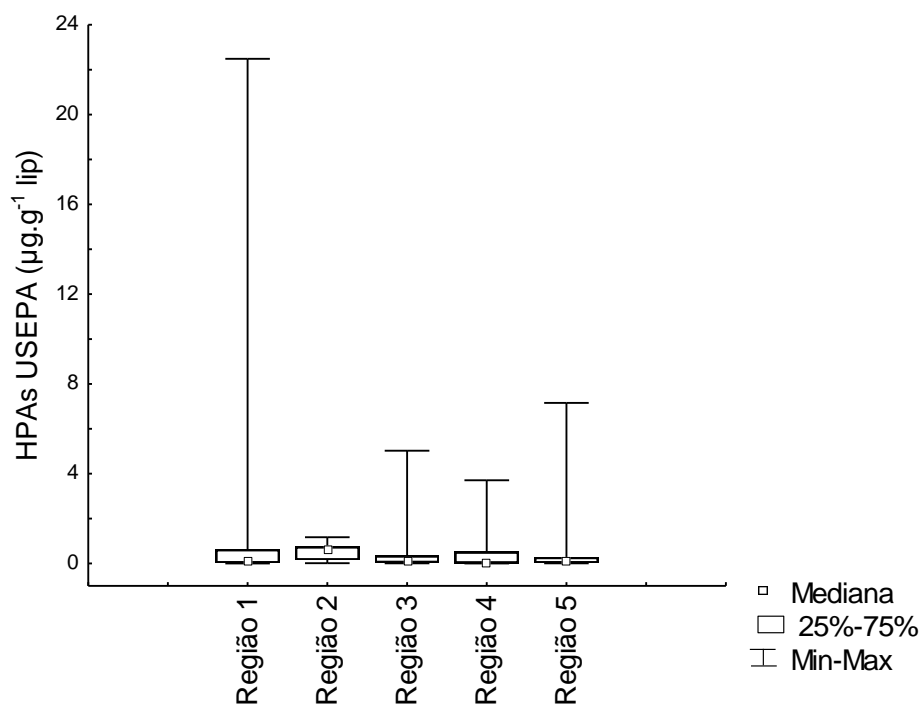


Figura 5: Somatório de hidrocarbonetos policíclicos aromáticos totais no tecido hepático de toninhas, *Pontoporia blainvillei*, expressas em $\mu\text{g.g}^{-1}$ de peso lipídico, coletados na Região 1- São Mateus no estado do Espírito Santo, Brasil, analisados durante o Ano 1, Ano 2 e Ano 3 do PMBA/Fest-RRDM.

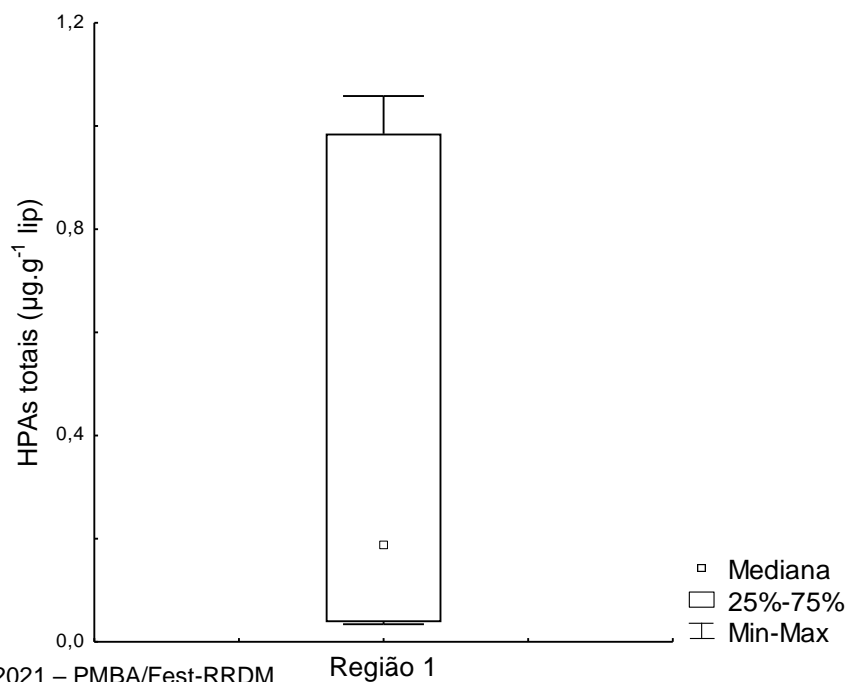


Figura 6: Somatório de hidrocarbonetos policíclicos aromáticos USEPA no tecido hepático de toninhas, *Pontoporia blainvillei*, expressas em $\mu\text{g.g}^{-1}$ de peso lipídico, coletados na Região 1-São Mateus no estado do Espírito Santo, Brasil, analisados durante o Ano 1, Ano 2 e Ano 3 do PMBA/Fest-RRDM.

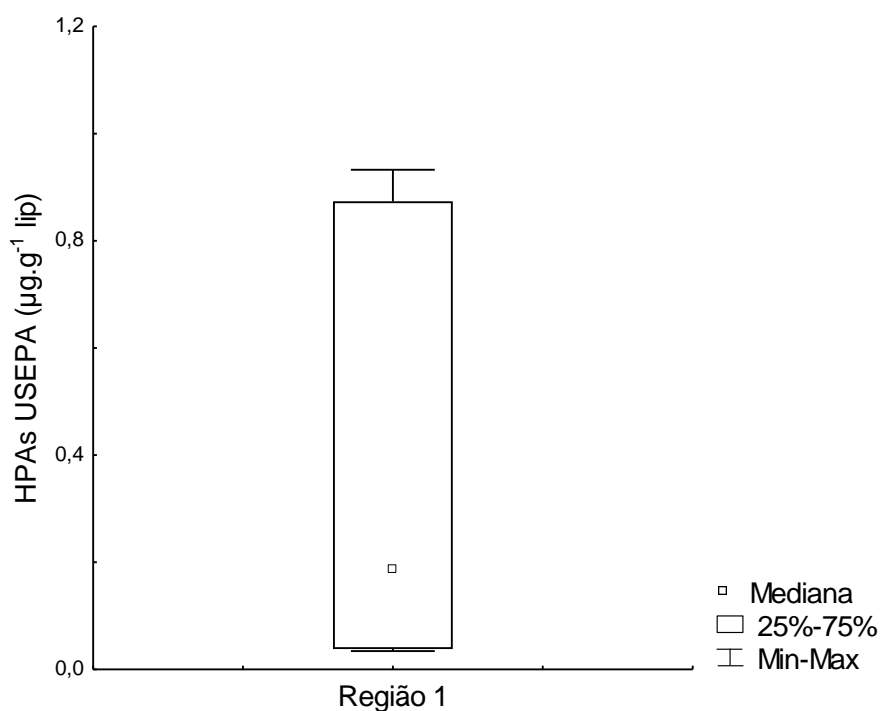


Figura 7: Perfil de hidrocarbonetos policíclicos aromáticos no tecido hepático de botos-cinza, *Sotalia guianensis*, por região do estado do Espírito Santo, analisados durante o Ano 1, Ano 2 e Ano 3 do PMBA/Fest-RRDM.

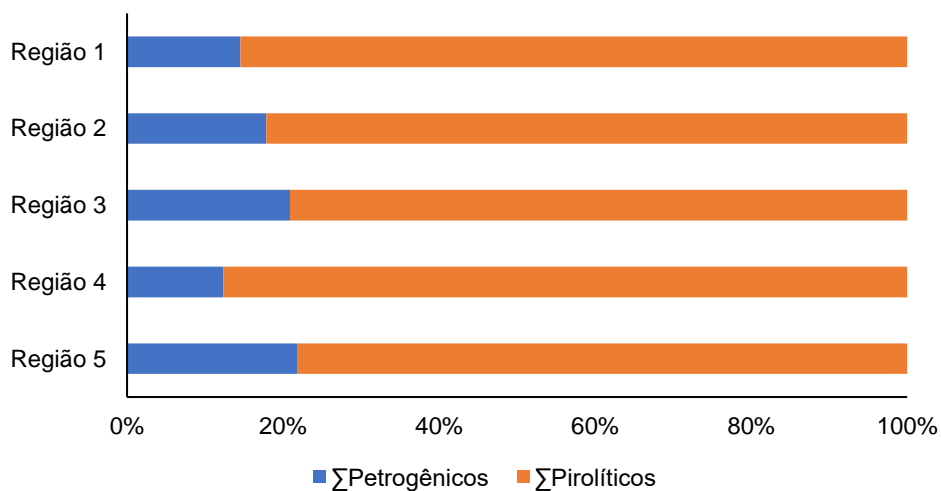


Figura 8: Perfil de hidrocarbonetos policíclicos aromáticos no tecido hepático de toninhas, *Pontoporia blainvillei*, da Região 1-São Mateus do estado do Espírito Santo, analisados durante o Ano 1, Ano 2 e Ano 3 do PMBA/Fest-RRDM.

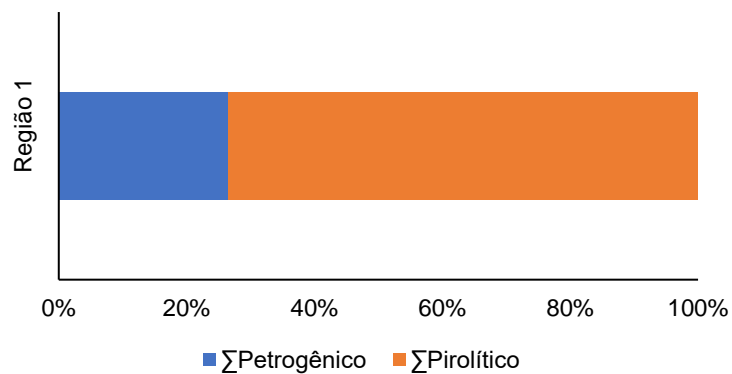


Figura 9: Perfil de hidrocarbonetos policíclicos aromáticos no tecido hepático de *Steno bredanensis* (EAE_S4) coletado no estado do Espírito Santo e analisado durante o Ano 1, Ano 2 e Ano 3 do PMBA/Fest-RRDM.

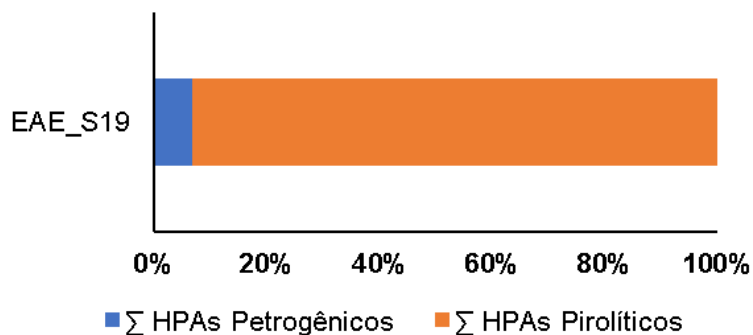


Tabela 1: Somatório das concentrações de hidrocarbonetos policíclicos aromáticos (\sum HPAs TOTAIS; \sum HPAs USEPA; \sum HPAs PETROGÊNICOS e \sum HPAs PIROLÍTICOS) analisados em tecido hepático de cetáceos coletados no estado do Espírito Santo, expressas em $\mu\text{g.g}^{-1}$ de peso lipídico, durante o Ano 1, Ano 2 e Ano 3 do PMBA/Fest-RRDM. N representa o número amostral, a idade está expressa em anos (mín-máx); CT corresponde ao comprimento total (mín-máx) e está expresso em metros; %Lip corresponde ao conteúdo lipídico (mín-máx) e está expresso em %; DP representa o desvio padrão; Mín representa a concentração mínima de determinado composto por espécie e por região e o Máx representa a concentração máxima por espécie e por região.

Espécie	Regiões	N	Idade	CT	% Lip		\sum HPAs TOTAIS	\sum HPAs USEPA	\sum HPAs PETROGÊNICOS (3 anéis)	\sum HPAs PIROLÍTICOS (4-6 anéis)
<i>Steno bredanensis</i>		2	16-31	2,4- 2,5	22-31	EAE_S4	1,531	1,523	0,104	1,426
						EAE_S19	<0,0002	<0,0002	<0,0002	< 0,001
<i>Pontoporia blainvillei</i>	Região 1	7		1,0-1,6	9,5-24,3	Média \pm DP	0,408 \pm 0,442	0,368 \pm 0,398	0,068 \pm 0,053	0,340 \pm 0,405
						Mediana	0,188	0,188	0,060	0,165
						Min-Max	<0,0002 – 1,058	<0,0002 – 0,938	< 0,0002 – 0,157	<0,001 – 0,963
	Região 2	1		1,36	15,8	EAE_S44	<0,0002	<0,0002	<0,0002	<0,001
<i>Sotalia guianensis</i>	Região 1	45	1 – 31	0,9 – 2,0	7 – 58	Média \pm DP	1,078 \pm 3,529	1,065 \pm 3,521	0,080 \pm 0,144	1,272 \pm 3,821
						Mediana	0,142	0,142	0,028	0,164
						Min-Max	<0,0002 – 22,514	<0,0002 – 22,483	<0,0002 – 0,686	<0,001 – 21,828
	Região 2	8	1 – 6	1,2 - 1,7	5 – 48	Média \pm DP	0,568 \pm 0,395	0,538 \pm 0,395	0,154 \pm 0,232	0,415 \pm 0,466
						Mediana	0,659	0,639	0,032	0,146
						Min-Máx	<0,0002 – 1,171	<0,0002 – 1,171	<0,0002 – 0,632	<0,001 – 1,155
	Região 3	17	1 – 12	1,3 - 1,95	10 – 20	Média \pm DP	0,505 \pm 1,276	0,488 \pm 1,265	0,125 \pm 0,286	0,552 \pm 1,172
						Mediana	0,149	0,136	0,049	0,184
						Min- Máx	<0,0002 – 5,082	<0,0002 – 5,026	<0,0002 – 1,030	<0,001 – 4,052
	Região 4	22	0 – 24	0,7 - 2,0	8 – 19	Média \pm DP	0,457 \pm 0,892	0,434 \pm 0,866	0,057 \pm 0,054	0,623 \pm 0,995
						Mediana	0,037	0,037	0,038	0,266
						Min-Max	<0,0002 – 3,797	<0,0002 – 3,709	<0,0002 – 0,198	<0,001 – 3,599
	Região 5	22	3 – 22	1,44 - 1,93	10- 23	Média \pm DP	0,520 \pm 1,571	0,511 \pm 1,573	0,067 \pm 0,099	0,604 \pm 1,709
						Mediana	0,101	0,093	0,033	0,117
						Min- Max	<0,0002 – 7,153	<0,0002 – 7,153	<0,0002 – 0,395	<0,001 – 6,758

Tabela 2: Concentrações de hidrocarbonetos policíclicos aromáticos expressas em $\mu\text{g.g}^{-1}$ lip. em tecido hepático de odontocetos reportadas na literatura. #=média, *=mediana.

Autor	N	Sexo	Ano	Local	Tecido	\sum HPAs USEPA	\sum HPAs PETROGÊNICOS (3 anéis)	\sum HPAs PIROLÍTICOS (4-6 anéis)
<i>Steno bredanensis</i>								
Presente estudo	1	M	2018-2019	Espírito Santo	Hepático	1,523	0,104	1,426
<i>Sotalia guianensis</i>								
Presente estudo	45	M/F	2015-2021	Região 1, ES	Hepático	1,065 [#] /0,142 [*]	0,082 [#] /0,028 [*]	1,272 [#] /0,164 [*]
Presente estudo	8	M/F	2018-2021	Região 2, ES	Hepático	0,538 [#] /0,639 [*]	0,154 [#] /0,032 [*]	0,415 [#] /0,146 [*]
Presente estudo	17	M/F	2018-2021	Região 3, ES	Hepático	0,488 [#] /0,136 [*]	0,125 [#] /0,049 [*]	0,552 [#] /0,184 [*]
Presente estudo	22	M/F	2018-2021	Região 4, ES	Hepático	0,434 [#] /0,037 [*]	0,057 [#] /0,038 [*]	0,623 [#] /0,266 [*]
Presente estudo	22	M/F	2018-2021	Região 5, ES	Hepático	0,511 [#] /0,093 [*]	0,067 [#] /0,033 [*]	0,604 [#] /0,117 [*]
Barros, 2014	10	-	2008-2013	GUA, RJ	Hepático	0,785 [#] /0,779 [*]	-	-
<i>Pontoporia blainvillei</i>								
Presente estudo	7	M/F	2019-2021	Região 1, ES	Hepático	0,368 [#] /0,188 [*]	0,068 [#] /0,060 [*]	0,340 [#] /0,165 [*]
<i>Delphinus capensis</i>								
Moon et al., 2012	12	M	2008-2009	Coréia do Sul	Hepático	0,088 [#]	-	-
Moon et al., 2012	10	F	2008-2009	Coréia do Sul	Hepático	0,096 [#]	-	-
<i>Physeter macrocephalus</i>								
Marsili et al., 2014	7	M	2009	Costa Adriática, Itália	Hepático	0,883 [#]	-	-
<i>Tursiops truncatus</i>								
García-Álvarez et al., 2014	26	-	1997-2011	Ilhas Canárias, Atlântico Leste	Hepático	0,038 [#] /0,022 [*]	-	-

Fonte: Autoria Própria (2021).

Tabela 3: Concentrações de hidrocarbonetos policíclicos aromáticos de origem petrogênica, expressas em $\mu\text{g.g}^{-1}$ lip.em tecido hepático de cada cetáceo coletado no estado do Espírito Santo durante o Ano 1, Ano 2 e Ano 3 do PMBA/Fest-RRDM.

	Nome estação amostral	Acenaftileno	Acenafteno	Fluoreno	Dibenzotiofeno	Fenantreno	Antraceno
	<i>Steno bredanensis</i>						
	EAE_S19	< 0,002	< 0,002	<0,001	< 0,002	< 0,001	< 0,003
	EAE_S4	0,006	< 0,002	<0,0002	0,008	0,090	< 0,003
	<i>Pontoporia blainvillei</i>						
Região 1	EAE_N51	0,020	< 0,002	< 0,001	< 0,002	0,016	< 0,003
	EAE_N53	0,014	< 0,002	< 0,001	< 0,002	0,009	< 0,003
	EAE_N61	0,015	< 0,002	0,050	< 0,002	0,030	< 0,003
	EAE_N62	0,005	< 0,002	< 0,001	< 0,002	< 0,001	< 0,003
	EAE_N67	0,035	< 0,002	0,029	< 0,002	0,094	< 0,003
	EAE_N81	< 0,002	< 0,002	0,025	0,027	0,047	< 0,003
	EAE_N95	< 0,002	< 0,002	<0,001	< 0,002	0,060	< 0,003
Região 2	EAE_S44	< 0,002	< 0,002	< 0,001	< 0,002	< 0,001	< 0,003
	<i>Sotalia guianensis</i>						
Região 1	EAE_N5	< 0,002	< 0,002	< 0,001	< 0,002	0,010	< 0,003
	EAE_N14	< 0,002	< 0,002	< 0,001	< 0,002	0,005	< 0,003
	EAE_N16	0,012	< 0,002	< 0,001	< 0,002	0,013	< 0,003
	EAE_N21	0,008	< 0,002	< 0,001	< 0,002	0,012	< 0,003
	EAE_N22	< 0,002	< 0,002	< 0,001	0,030	0,656	< 0,003
	EAE_N27	< 0,002	< 0,002	< 0,001	< 0,002	0,013	< 0,003
	EAE_N28	0,001	< 0,002	< 0,001	< 0,002	< 0,001	< 0,003
	EAE_N31	0,001	< 0,002	< 0,001	0,010	0,044	< 0,003
	EAE_N33	< 0,002	< 0,002	< 0,001	0,016	0,229	< 0,003
	EAE_N34	< 0,002	< 0,002	< 0,001	< 0,002	< 0,001	< 0,003
	EAE_N36	0,006	< 0,002	< 0,001	< 0,002	0,013	< 0,003
	EAE_N37	0,002	< 0,002	< 0,001	< 0,002	< 0,001	< 0,003
	EAE_N39	< 0,002	< 0,002	< 0,001	< 0,002	0,020	< 0,003
	EAE_N40	< 0,002	< 0,002	< 0,001	< 0,002	< 0,001	< 0,003
	EAE_PPN8	0,002	< 0,002	< 0,001	< 0,002	0,043	< 0,003
	EAE_PPN5	< 0,002	< 0,002	< 0,001	< 0,002	0,011	< 0,003
	EAE_PPN4	< 0,002	< 0,002	< 0,001	< 0,002	< 0,001	< 0,003

	Nome estação amostral	Acenaftileno	Acenafteno	Fluoreno	Dibenzotiofeno	Fenantreno	Antraceno
	EAE_PPN3	< 0,002	< 0,002	< 0,001	< 0,002	0,015	< 0,003
	EAE_PPN2	0,035	< 0,002	0,062	< 0,002	< 0,001	< 0,003
	EAE_N41	0,003	< 0,002	< 0,001	< 0,002	< 0,001	< 0,003
	EAE_N42	< 0,002	< 0,002	< 0,001	< 0,002	0,010	< 0,003
	EAE_N48	< 0,002	< 0,002	0,012	< 0,002	< 0,001	< 0,003
	EAE_N49	< 0,002	0,012	0,021	< 0,002	0,044	< 0,003
	EAE_N50	< 0,002	< 0,002	< 0,001	< 0,002	0,007	< 0,003
	EAE_N56	0,014	< 0,002	< 0,001	< 0,002	0,012	< 0,003
	EAE_N59	0,024	< 0,002	< 0,001	< 0,002	0,019	< 0,003
	EAE_N60	0,018	< 0,002	< 0,001	< 0,002	0,018	< 0,003
	EAE_S51	< 0,002	< 0,002	0,014	< 0,002	< 0,001	< 0,003
	EAE_S62	< 0,002	< 0,002	0,024	0,051	0,025	< 0,003
	EAE_N63	< 0,002	< 0,002	0,015	< 0,002	0,014	< 0,003
	EAE_N65	0,340	0,032	0,012	< 0,002	0,017	< 0,003
	EAE_N66	< 0,002	< 0,002	< 0,001	< 0,002	< 0,001	< 0,003
	EAE_N68	< 0,002	< 0,002	0,043	< 0,002	0,063	< 0,003
	EAE_N69	< 0,002	< 0,002	0,014	< 0,002	0,023	< 0,003
	EAE_N77	< 0,002	< 0,002	< 0,001	< 0,002	0,008	< 0,003
	EAE_N79	< 0,002	< 0,002	0,016	< 0,002	0,030	< 0,003
	EAE_N82	< 0,002	< 0,002	< 0,001	< 0,002	0,015	< 0,003
	EAE_N85	0,392	< 0,002	< 0,001	< 0,002	< 0,001	< 0,003
	EAE_N88	0,039	< 0,002	< 0,001	< 0,002	0,012	< 0,003
	EAE_N90	< 0,002	< 0,002	< 0,001	< 0,002	0,351	< 0,003
	EAE_N93	< 0,002	< 0,002	< 0,001	< 0,002	0,044	< 0,003
	EAE_N96	< 0,002	< 0,002	< 0,001	< 0,002	< 0,001	< 0,003
	EAE_N98	< 0,002	< 0,002	< 0,001	< 0,002	< 0,001	< 0,003
	EAE_N100	< 0,002	< 0,002	< 0,001	< 0,002	< 0,001	< 0,003
	EAE_N101	< 0,002	< 0,002	< 0,001	< 0,002	0,055	< 0,003
Região 2	EAE_N9	< 0,002	< 0,002	< 0,001	< 0,002	< 0,001	< 0,003
	EAE_N19	< 0,002	< 0,002	< 0,001	< 0,002	0,032	< 0,003
	EAE_S22	< 0,002	< 0,002	< 0,001	< 0,002	0,030	< 0,003
	EAE_S30	< 0,002	< 0,002	< 0,001	< 0,002	0,016	< 0,003
	EAE_S61	0,016	< 0,002	< 0,001	0,014	< 0,001	< 0,003

	Nome estação amostral	Acenaftileno	Acenafteno	Fluoreno	Dibenzotiofeno	Fenantreno	Antraceno
	EAE_S65	< 0,002	0,022	0,011	< 0,002	0,013	< 0,003
	EAE_S91	0,436	0,176	< 0,001	0,019	< 0,001	< 0,003
	EAE_S92	0,049	0,241	< 0,001	< 0,002	< 0,001	< 0,003
Região 3	EAE_S6	0,001	< 0,002	0,009	< 0,002	0,016	< 0,003
	EAE_S18	< 0,002	< 0,002	< 0,001	< 0,002	0,039	< 0,003
	EAE_S27	< 0,002	< 0,002	0,034	< 0,002	0,019	< 0,003
	EAE_S32	< 0,002	< 0,002	< 0,001	< 0,002	< 0,001	< 0,003
	EAE_S35	< 0,002	< 0,002	< 0,001	< 0,002	0,025	< 0,003
	EAE_S47	< 0,002	< 0,002	0,010	< 0,002	< 0,001	< 0,003
	EAE_S48	< 0,002	< 0,002	< 0,001	< 0,002	< 0,001	< 0,003
	EAE_S50	< 0,002	< 0,002	< 0,001	< 0,002	< 0,001	< 0,003
	EAE_S59	< 0,002	< 0,002	0,017	0,042	0,009	< 0,003
	EAE_S82	< 0,002	< 0,002	< 0,001	< 0,002	0,010	< 0,003
	EAE_S97	< 0,002	< 0,002	< 0,001	< 0,002	0,044	< 0,003
	EAE_S99	< 0,002	< 0,002	< 0,001	< 0,002	< 0,001	< 0,003
	EAE_S100	< 0,002	< 0,002	< 0,001	< 0,002	< 0,001	< 0,003
	EAE_S102	< 0,002	< 0,002	0,019	< 0,002	0,038	< 0,003
	EAE_S104	< 0,002	< 0,002	< 0,001	< 0,002	0,056	< 0,003
	EAE_S105	0,876	< 0,002	< 0,001	< 0,002	0,154	< 0,003
	EAE_S117	< 0,002	< 0,002	< 0,001	< 0,002	0,083	< 0,003
Região 4	EAE_S5	< 0,002	< 0,002	< 0,001	< 0,002	0,030	< 0,003
	EAE_S8	< 0,002	< 0,002	< 0,001	< 0,002	0,015	< 0,003
	EAE_S11	< 0,002	< 0,002	< 0,001	< 0,002	0,013	< 0,003
	EAE_S12	< 0,002	< 0,002	< 0,001	< 0,002	0,019	< 0,003
	EAE_S14	< 0,002	< 0,002	< 0,001	< 0,002	0,187	0,011
	EAE_S23	< 0,002	< 0,002	< 0,001	< 0,002	< 0,001	< 0,003
	EAE_S28	< 0,002	< 0,002	0,028	< 0,002	0,018	< 0,003
	EAE_S37	0,020	< 0,002	0,041	< 0,002	0,047	< 0,003
	EAE_S39	0,015	< 0,002	0,027	< 0,002	0,039	< 0,003
	EAE_S42	< 0,002	< 0,002	< 0,001	< 0,002	< 0,001	< 0,003
	EAE_S45	0,019	< 0,002	< 0,001	< 0,002	0,032	< 0,003
	EAE_S57	< 0,002	< 0,002	0,017	< 0,002	0,005	< 0,003
	EAE_S60	< 0,002	< 0,002	0,031	0,084	0,057	< 0,003

	Nome estação amostral	Acenaftileno	Acenafteno	Fluoreno	Dibenzotiofeno	Fenantreno	Antraceno
	EAE_S67	< 0,002	< 0,002	0,016	< 0,002	0,019	< 0,003
	EAE_S84	< 0,002	< 0,002	< 0,001	< 0,002	0,009	< 0,003
	EAE_S85	< 0,002	< 0,002	< 0,001	< 0,002	< 0,001	< 0,003
	EAE_S89	< 0,002	< 0,002	< 0,001	< 0,002	< 0,001	< 0,003
	EAE_S101	< 0,002	< 0,002	< 0,001	< 0,002	0,020	< 0,003
	EAE_S103	< 0,002	< 0,002	0,026	< 0,002	0,057	< 0,003
	EAE_S106	< 0,002	< 0,002	< 0,001	< 0,002	0,060	< 0,003
	EAE_S109	< 0,002	< 0,002	< 0,001	< 0,002	0,027	< 0,003
	EAE_S115	< 0,002	< 0,002	< 0,001	< 0,002	0,040	< 0,003
Região 5	EAE_S7	< 0,002	< 0,002	0,012	< 0,002	0,015	< 0,003
	EAE_S9	0,007	< 0,002	< 0,001	< 0,002	0,003	< 0,003
	EAE_S13	< 0,002	< 0,002	< 0,001	< 0,002	0,012	< 0,003
	EAE_S17	< 0,002	< 0,002	< 0,001	< 0,002	0,006	< 0,003
	EAE_S25	< 0,002	< 0,002	< 0,001	< 0,002	0,014	< 0,003
	EAE_S29	< 0,002	< 0,002	< 0,001	< 0,002	< 0,001	< 0,003
	EAE_S43	< 0,002	< 0,002	0,011	< 0,002	< 0,001	< 0,003
	EAE_S49	< 0,002	< 0,002	< 0,001	< 0,002	< 0,001	0,017
	EAE_S54	< 0,002	< 0,002	0,022	< 0,002	0,018	< 0,003
	EAE_S58	0,049	< 0,002	0,016	< 0,002	< 0,001	< 0,003
	EAE_S64	< 0,002	< 0,002	0,014	< 0,002	0,005	< 0,003
	EAE_S76	< 0,002	< 0,002	< 0,001	< 0,002	0,022	< 0,003
	EAE_S78	< 0,002	< 0,002	0,022	0,021	0,011	< 0,003
	EAE_S80	0,172	< 0,002	< 0,001	0,035	0,001	< 0,003
	EAE_S86	< 0,002	< 0,002	0,027	< 0,002	< 0,001	< 0,003
	EAE_S87	0,220	< 0,002	< 0,001	< 0,002	0,015	< 0,003
	EAE_S93	0,207	0,186	< 0,001	< 0,002	0,002	< 0,003
	EAE_S98	< 0,002	< 0,002	< 0,001	< 0,002	0,047	< 0,003
	EAE_S107	< 0,002	< 0,002	< 0,001	< 0,002	0,046	< 0,003
	EAE_S110	< 0,002	< 0,002	< 0,001	< 0,002	< 0,001	< 0,003
	EAE_S111	< 0,002	< 0,002	< 0,001	< 0,002	0,045	< 0,003
	EAE_S120	< 0,002	< 0,002	< 0,001	< 0,002	0,038	< 0,003

Tabela 4: Concentrações de hidrocarbonetos policíclicos aromáticos de origem pirolítica expressas em $\mu\text{g.g}^{-1}$ lip. em tecido hepático de cada cetáceo coletado no estado do Espírito Santo durante o Ano 1, Ano 2 e Ano 3 do PMBA/Fest-RRDM.

	Nome estação amostral	Fluoranteno	Pireno	Benzo(a) antraceno	Criseno	Benzo(b) fluoranteno	Benzo(k) fluoranteno	Benzo(e)pireno	Benzo(a)pireno	Perileno	Indeno(123cd) pireno	Dibenzo(ab) antraceno	Benzo(ghi) perileno
	<i>Steno bredanensis</i>												
	EAE_S19	< 0,001	< 0,001	< 0,004	< 0,002	< 0,006	< 0,005	< 0,002	< 0,004	< 0,003	< 0,002	< 0,002	< 0,002
	EAE_S4	0,507	0,849	< 0,004	< 0,002	< 0,006	< 0,005	< 0,002	< 0,004	< 0,003	< 0,002	< 0,002	0,071
	<i>Pontoporia blainvillei</i>												
Região 1	EAE_N51	< 0,001	0,002	< 0,004	< 0,002	< 0,006	< 0,005	< 0,002	< 0,004	< 0,003	< 0,002	< 0,002	< 0,002
	EAE_N53	0,060	0,076	< 0,004	< 0,002	< 0,006	< 0,005	< 0,002	< 0,004	< 0,003	< 0,002	< 0,002	0,030
	EAE_N61	< 0,001	0,061	< 0,004	< 0,002	< 0,006	< 0,005	0,126	0,120	< 0,003	0,160	< 0,002	0,496
	EAE_N62	< 0,001	< 0,001	< 0,004	< 0,002	< 0,006	< 0,005	< 0,002	0,030	< 0,003	< 0,002	< 0,002	< 0,002
	EAE_N67	< 0,001	0,157	< 0,004	0,113	0,114	0,099	0,112	0,103	< 0,003	0,088	< 0,002	0,043
	EAE_N81	< 0,001	0,004	< 0,004	< 0,002	< 0,006	< 0,005	< 0,002	< 0,004	< 0,003	< 0,002	< 0,002	< 0,002
	EAE_N95	0,074	0,270	< 0,004	< 0,002	< 0,006	< 0,005	< 0,002	< 0,004	< 0,003	< 0,002	< 0,002	0,041
Região 2	EAE_S44	< 0,001	< 0,001	< 0,004	< 0,002	< 0,006	< 0,005	< 0,002	< 0,004	< 0,003	< 0,002	< 0,002	< 0,002
	<i>Sotalia guianensis</i>												
Região 1	EAE_N5	< 0,001	< 0,001	< 0,004	< 0,002	< 0,006	< 0,005	< 0,002	< 0,004	< 0,003	< 0,002	0,004	< 0,002
	EAE_N14	< 0,001	< 0,001	< 0,004	< 0,002	< 0,006	< 0,005	< 0,002	< 0,004	< 0,003	< 0,002	< 0,002	< 0,002
	EAE_N16	< 0,001	< 0,001	< 0,004	< 0,002	< 0,006	< 0,005	< 0,002	< 0,004	< 0,003	< 0,002	< 0,002	< 0,002
	EAE_N21	0,123	< 0,001	< 0,004	< 0,002	< 0,006	< 0,005	< 0,002	< 0,004	< 0,003	< 0,002	< 0,002	< 0,002
	EAE_N22	3,583	11,983	< 0,004	< 0,002	< 0,006	< 0,005	< 0,002	< 0,004	< 0,003	1,456	< 0,002	4,806
	EAE_N27	< 0,001	< 0,001	< 0,004	< 0,002	< 0,006	< 0,005	< 0,002	< 0,004	< 0,003	< 0,002	< 0,002	< 0,002
	EAE_N28	< 0,001	< 0,001	< 0,004	< 0,002	< 0,006	< 0,005	< 0,002	< 0,004	< 0,003	< 0,002	< 0,002	< 0,002
	EAE_N31	< 0,001	0,463	< 0,004	< 0,002	< 0,006	< 0,005	< 0,002	< 0,004	< 0,003	< 0,002	< 0,002	0,045
	EAE_N33	1,548	2,904	< 0,004	< 0,002	< 0,006	< 0,005	< 0,002	0,110	< 0,003	0,115	< 0,002	0,289
	EAE_N34	< 0,001	< 0,001	< 0,004	< 0,002	< 0,006	< 0,005	< 0,002	< 0,004	< 0,003	< 0,002	< 0,002	< 0,002
	EAE_N36	< 0,001	0,055	< 0,004	< 0,002	< 0,006	< 0,005	0,015	< 0,004	< 0,003	< 0,002	< 0,002	0,016
	EAE_N37	0,639	0,003	< 0,004	< 0,002	< 0,006	< 0,005	< 0,002	< 0,004	< 0,003	< 0,002	< 0,002	< 0,002
	EAE_N39	0,029	0,081	< 0,004	< 0,002	< 0,006	< 0,005	0,020	< 0,004	< 0,003	< 0,002	< 0,002	0,029
	EAE_N40	0,214	< 0,001	< 0,004	< 0,002	< 0,006	< 0,005	< 0,002	< 0,004	< 0,003	< 0,002	< 0,002	< 0,002
	EAE_PPN8	< 0,001	0,498	< 0,004	0,447	< 0,006	< 0,005	0,106	0,086	< 0,003	0,102	< 0,002	0,233
	EAE_PPN5	< 0,001	0,077	< 0,004	0,037	< 0,006	< 0,005	< 0,002	< 0,004	< 0,003	< 0,002	< 0,002	0,034

	Nome estação amostral	Fluoranteno	Pireno	Benzo(a) antraceno	Criseno	Benzo(b) fluoranteno	Benzo(k) fluoranteno	Benzo(e)pireno	Benzo(a)pireno	Perileno	Indeno(123cd) pireno	Dibenzo(ab) antraceno	Benzo(ghi) perileno
	EAE_PPN4	< 0,001	< 0,001	< 0,004	< 0,002	0,028	< 0,005	< 0,002	0,035	< 0,003	< 0,002	< 0,002	< 0,002
	EAE_PPN3	< 0,001	0,141	< 0,004	< 0,002	< 0,006	< 0,005	< 0,002	0,029	< 0,003	< 0,002	< 0,002	< 0,002
	EAE_PPN2	< 0,001	0,999	< 0,004	< 0,002	< 0,006	< 0,005	< 0,002	< 0,004	< 0,003	< 0,002	< 0,002	< 0,002
	EAE_N41	< 0,001	0,169	< 0,004	< 0,002	< 0,006	< 0,005	< 0,002	< 0,004	< 0,003	< 0,002	< 0,002	0,161
	EAE_N42	< 0,001	0,028	< 0,004	< 0,002	0,045	< 0,005	< 0,002	< 0,004	< 0,003	< 0,002	< 0,002	< 0,002
	EAE_N48	< 0,001	< 0,001	< 0,004	< 0,002	< 0,006	< 0,005	< 0,002	< 0,004	< 0,003	< 0,002	< 0,002	0,131
	EAE_N49	0,369	0,143	< 0,004	0,019	< 0,006	< 0,005	< 0,002	< 0,004	< 0,003	0,204	< 0,002	0,473
	EAE_N50	< 0,001	< 0,001	< 0,004	< 0,002	< 0,006	< 0,005	< 0,002	< 0,004	< 0,003	< 0,002	< 0,002	< 0,002
	EAE_N56	< 0,001	0,016	< 0,004	< 0,002	< 0,006	< 0,005	< 0,002	< 0,004	< 0,003	< 0,002	< 0,002	0,048
	EAE_N59	< 0,001	< 0,001	< 0,004	< 0,002	< 0,006	< 0,005	< 0,002	< 0,004	< 0,003	< 0,002	< 0,002	< 0,002
	EAE_N60	< 0,001	< 0,001	< 0,004	< 0,002	< 0,006	< 0,005	< 0,002	< 0,004	< 0,003	< 0,002	< 0,002	< 0,002
	EAE_S51	0,053	< 0,001	< 0,004	< 0,002	0,037	< 0,005	< 0,002	0,008	0,020	< 0,002	< 0,002	< 0,002
	EAE_S62	< 0,001	0,305	< 0,004	< 0,002	< 0,006	< 0,005	< 0,002	0,043	< 0,003	< 0,002	< 0,002	< 0,002
	EAE_N63	0,023	0,020	< 0,004	< 0,002	< 0,006	0,028	< 0,002	0,013	< 0,003	< 0,002	< 0,002	< 0,002
	EAE_N65	1,373	0,007	< 0,004	< 0,002	< 0,006	< 0,005	0,024	0,065	< 0,003	0,030	< 0,002	0,112
	EAE_N66	< 0,001	< 0,001	< 0,004	< 0,002	< 0,006	< 0,005	< 0,002	< 0,004	< 0,003	0,013	< 0,002	0,010
	EAE_N68	0,048	0,068	< 0,004	0,044	< 0,006	< 0,005	0,179	< 0,004	< 0,003	0,161	< 0,002	0,744
	EAE_N69	< 0,001	0,031	< 0,004	< 0,002	< 0,006	< 0,005	< 0,002	< 0,004	< 0,003	< 0,002	< 0,002	< 0,002
	EAE_N77	0,593	< 0,001	< 0,004	< 0,002	< 0,006	< 0,005	< 0,002	< 0,004	< 0,003	< 0,002	< 0,002	< 0,002
	EAE_N79	4,860	0,066	< 0,004	< 0,002	< 0,006	< 0,005	< 0,002	0,037	< 0,003	0,027	< 0,002	< 0,002
	EAE_N82	< 0,001	0,012	< 0,004	< 0,002	< 0,006	< 0,005	< 0,002	0,013	< 0,003	< 0,002	< 0,002	< 0,002
	EAE_N85	0,316	< 0,001	< 0,004	< 0,002	< 0,006	< 0,005	< 0,002	< 0,004	< 0,003	< 0,002	< 0,002	< 0,002
	EAE_N88	< 0,001	0,069	< 0,004	< 0,002	< 0,006	< 0,005	0,053	< 0,004	< 0,003	0,076	< 0,002	0,372
	EAE_N90	< 0,001	< 0,001	< 0,004	< 0,002	< 0,006	< 0,005	< 0,002	< 0,004	< 0,003	< 0,002	< 0,002	< 0,002
	EAE_N93	< 0,001	< 0,001	< 0,004	< 0,002	< 0,006	< 0,005	< 0,002	< 0,004	< 0,003	< 0,002	< 0,002	< 0,002
	EAE_N96	< 0,001	< 0,001	< 0,004	< 0,002	< 0,006	< 0,005	< 0,002	< 0,004	< 0,003	< 0,002	< 0,002	0,011
	EAE_N98	< 0,001	< 0,001	< 0,004	< 0,002	< 0,006	< 0,005	< 0,002	< 0,004	< 0,003	< 0,002	< 0,002	< 0,002
	EAE_N100	< 0,001	< 0,001	< 0,004	< 0,002	< 0,006	< 0,005	< 0,002	< 0,004	< 0,003	< 0,002	< 0,002	0,022
	EAE_N101	< 0,001	< 0,001	< 0,004	< 0,002	< 0,006	< 0,005	< 0,002	< 0,004	< 0,003	< 0,002	< 0,002	0,063
Região 2	EAE_N9	< 0,001	< 0,001	< 0,004	< 0,002	< 0,006	< 0,005	< 0,002	< 0,004	< 0,003	< 0,002	< 0,002	< 0,002
	EAE_N19	< 0,001	0,018	< 0,004	0,014	0,015	< 0,005	< 0,002	< 0,004	< 0,003	< 0,002	< 0,002	0,619
	EAE_S22	< 0,001	0,315	< 0,004	< 0,002	< 0,006	< 0,005	0,146	0,123	< 0,003	0,257	< 0,002	< 0,002

	Nome estação amostral	Fluoranteno	Pireno	Benzo(a) antraceno	Criseno	Benzo(b) fluoranteno	Benzo(k) fluoranteno	Benzo(e)pireno	Benzo(a)pireno	Perileno	Indeno(123cd) pireno	Dibenzo(ab) antraceno	Benzo(ghi) perileno
	EAE_S30	< 0,001	0,094	< 0,004	< 0,002	< 0,006	< 0,005	< 0,002	< 0,004	< 0,003	0,371	< 0,002	0,690
	EAE_S61	< 0,001	< 0,001	< 0,004	< 0,002	< 0,006	< 0,005	< 0,002	0,013	0,013	< 0,002	< 0,002	< 0,002
	EAE_S65	< 0,001	0,001	< 0,004	< 0,002	< 0,006	< 0,005	0,021	0,032	< 0,003	0,023	< 0,002	0,068
	EAE_S91	0,026	< 0,001	< 0,004	< 0,002	< 0,006	< 0,005	< 0,002	< 0,004	< 0,003	< 0,002	< 0,002	< 0,002
	EAE_S92	0,044	< 0,001	< 0,004	< 0,002	< 0,006	< 0,005	< 0,002	< 0,004	< 0,003	< 0,002	< 0,002	< 0,002
Região 3	EAE_S6	< 0,001	< 0,001	< 0,004	< 0,002	< 0,006	< 0,005	< 0,002	< 0,004	< 0,003	< 0,002	< 0,002	< 0,002
	EAE_S18	< 0,001	< 0,001	< 0,004	< 0,002	< 0,006	< 0,005	< 0,002	< 0,004	< 0,003	< 0,002	< 0,002	< 0,002
	EAE_S27	< 0,001	0,051	< 0,004	< 0,002	< 0,006	< 0,005	< 0,002	< 0,004	< 0,003	< 0,002	< 0,002	0,045
	EAE_S32	< 0,001	< 0,001	< 0,004	< 0,002	< 0,006	< 0,005	< 0,002	< 0,004	< 0,003	< 0,002	< 0,002	< 0,002
	EAE_S35	< 0,001	0,068	< 0,004	< 0,002	< 0,006	< 0,005	< 0,002	< 0,004	< 0,003	0,062	< 0,002	0,394
	EAE_S47	< 0,001	< 0,001	< 0,004	< 0,002	< 0,006	< 0,005	< 0,002	< 0,004	< 0,003	< 0,002	< 0,002	< 0,002
	EAE_S48	< 0,001	< 0,001	< 0,004	< 0,002	< 0,006	< 0,005	< 0,002	< 0,004	< 0,003	< 0,002	< 0,002	< 0,002
	EAE_S50	0,278	< 0,001	< 0,004	< 0,002	< 0,006	< 0,005	< 0,002	0,014	0,025	< 0,002	< 0,002	< 0,002
	EAE_S59	< 0,001	0,017	< 0,004	< 0,002	< 0,006	< 0,005	0,024	0,005	< 0,003	0,022	< 0,002	0,048
	EAE_S82	0,029	0,048	< 0,004	< 0,002	< 0,006	< 0,005	0,059	< 0,004	< 0,003	0,067	< 0,002	0,190
	EAE_S97	< 0,001	< 0,001	< 0,004	< 0,002	< 0,006	< 0,005	< 0,002	< 0,004	< 0,003	< 0,002	< 0,002	< 0,002
	EAE_S99	< 0,001	< 0,001	< 0,004	< 0,002	< 0,006	< 0,005	< 0,002	0,054	< 0,003	< 0,002	< 0,002	0,034
	EAE_S100	< 0,001	< 0,001	< 0,004	< 0,002	< 0,006	< 0,005	< 0,002	0,048	< 0,003	< 0,002	< 0,002	0,136
	EAE_S102	0,003	< 0,001	< 0,004	< 0,002	< 0,006	< 0,005	< 0,002	< 0,004	< 0,003	< 0,002	< 0,002	< 0,002
	EAE_S104	< 0,001	0,037	< 0,004	< 0,002	< 0,006	< 0,005	< 0,002	< 0,004	< 0,003	< 0,002	< 0,002	< 0,002
	EAE_S105	0,857	2,820	< 0,004	0,047	< 0,006	< 0,005	0,126	0,056	< 0,003	0,034	< 0,002	0,112
	EAE_S117	0,040	0,075	< 0,004	< 0,002	< 0,006	< 0,005	< 0,002	< 0,004	< 0,003	0,038	< 0,002	0,106
Região 4	EAE_S5	< 0,001	< 0,001	< 0,004	< 0,002	< 0,006	< 0,005	< 0,002	< 0,004	< 0,003	< 0,002	< 0,002	< 0,002
	EAE_S8	< 0,001	< 0,001	< 0,004	< 0,002	< 0,006	< 0,005	< 0,002	< 0,004	< 0,003	< 0,002	< 0,002	0,020
	EAE_S11	< 0,001	< 0,001	< 0,004	< 0,002	< 0,006	< 0,005	< 0,002	< 0,004	< 0,003	< 0,002	< 0,002	< 0,002
	EAE_S12	< 0,001	< 0,001	< 0,004	< 0,002	< 0,006	< 0,005	< 0,002	< 0,004	< 0,003	< 0,002	< 0,002	< 0,002
	EAE_S14	< 0,001	3,022	< 0,004	< 0,002	< 0,006	< 0,005	0,057	0,088	< 0,003	0,074	< 0,002	0,358
	EAE_S23	< 0,001	< 0,001	< 0,004	< 0,002	0,026	< 0,005	< 0,002	< 0,004	< 0,003	< 0,002	< 0,002	< 0,002
	EAE_S28	< 0,001	0,144	< 0,004	< 0,002	< 0,006	< 0,005	< 0,002	< 0,004	< 0,003	0,013	0,041	0,068
	EAE_S37	< 0,001	1,089	< 0,004	< 0,002	< 0,006	< 0,005	< 0,002	< 0,004	< 0,003	< 0,002	< 0,002	0,029
	EAE_S39	< 0,001	0,582	< 0,004	< 0,002	< 0,006	< 0,005	< 0,002	0,124	< 0,003	0,143	< 0,002	0,459
	EAE_S42	< 0,001	< 0,001	< 0,004	< 0,002	< 0,006	< 0,005	< 0,002	< 0,004	< 0,003	< 0,002	< 0,002	< 0,002

	Nome estação amostral	Fluoranteno	Pireno	Benzo(a) antraceno	Criseno	Benzo(b) fluoranteno	Benzo(k) fluoranteno	Benzo(e)pireno	Benzo(a)pireno	Perileno	Indeno(123cd) pireno	Dibenzo(ab) antraceno	Benzo(ghi) perileno
	EAE_S45	< 0,001	0,123	< 0,004	< 0,002	< 0,006	< 0,005	< 0,002	< 0,004	< 0,003	0,054	< 0,002	0,159
	EAE_S57	< 0,001	< 0,001	< 0,004	< 0,002	< 0,006	< 0,005	< 0,002	< 0,004	< 0,003	< 0,002	< 0,002	< 0,002
	EAE_S60	0,056	0,101	< 0,004	< 0,002	< 0,006	< 0,005	0,063	0,112	< 0,003	0,071	< 0,002	0,267
	EAE_S67	< 0,001	0,013	< 0,004	< 0,002	< 0,006	< 0,005	< 0,002	0,044	< 0,003	< 0,002	< 0,002	0,003
	EAE_S84	< 0,001	0,014	< 0,004	< 0,002	< 0,006	< 0,005	< 0,002	< 0,004	< 0,003	< 0,002	< 0,002	< 0,002
	EAE_S85	0,003	< 0,001	< 0,004	< 0,002	< 0,006	< 0,005	< 0,002	< 0,004	< 0,003	< 0,002	< 0,002	< 0,002
	EAE_S89	< 0,001	< 0,001	< 0,004	< 0,002	< 0,006	< 0,005	< 0,002	< 0,004	< 0,003	< 0,002	< 0,002	< 0,002
	EAE_S101	< 0,001	< 0,001	< 0,004	< 0,002	< 0,006	< 0,005	< 0,002	< 0,004	< 0,003	< 0,002	< 0,002	< 0,002
	EAE_S103	< 0,001	0,064	< 0,004	< 0,002	< 0,006	< 0,005	< 0,002	< 0,004	< 0,003	< 0,002	< 0,002	< 0,002
	EAE_S106	0,053	0,145	< 0,004	< 0,002	< 0,006	< 0,005	< 0,002	< 0,004	< 0,003	0,072	< 0,002	0,349
	EAE_S109	< 0,001	< 0,001	< 0,004	< 0,002	< 0,006	< 0,005	< 0,002	< 0,004	< 0,003	< 0,002	< 0,002	< 0,002
Região 5	EAE_S115	< 0,001	< 0,001	< 0,004	< 0,002	< 0,006	< 0,005	< 0,002	< 0,004	< 0,003	< 0,002	< 0,002	< 0,002
	EAE_S7	< 0,001	0,018	< 0,004	< 0,002	< 0,006	< 0,005	< 0,002	< 0,004	< 0,003	0,024	< 0,002	< 0,002
	EAE_S9	< 0,001	< 0,001	< 0,004	< 0,002	< 0,006	< 0,005	< 0,002	< 0,004	< 0,003	< 0,002	< 0,002	< 0,002
	EAE_S13	< 0,001	< 0,001	< 0,004	< 0,002	< 0,006	< 0,005	< 0,002	< 0,004	< 0,003	< 0,002	< 0,002	< 0,002
	EAE_S17	0,317	< 0,001	< 0,004	< 0,002	< 0,006	< 0,005	< 0,002	< 0,004	< 0,003	0,024	< 0,002	< 0,002
	EAE_S25	< 0,001	< 0,001	< 0,004	< 0,002	< 0,006	< 0,005	< 0,002	< 0,004	< 0,003	< 0,002	< 0,002	< 0,002
	EAE_S29	< 0,001	< 0,001	< 0,004	< 0,002	< 0,006	< 0,005	< 0,002	< 0,004	< 0,003	< 0,002	< 0,002	< 0,002
	EAE_S43	< 0,001	< 0,001	< 0,004	< 0,002	< 0,006	< 0,005	< 0,002	< 0,004	< 0,003	< 0,002	< 0,002	< 0,002
	EAE_S49	0,181	< 0,001	< 0,004	< 0,002	< 0,006	< 0,005	< 0,002	< 0,004	< 0,003	< 0,002	< 0,002	< 0,002
	EAE_S54	< 0,001	0,043	< 0,004	< 0,002	< 0,006	< 0,005	< 0,002	0,017	< 0,003	< 0,002	< 0,002	< 0,002
	EAE_S58	0,236	< 0,001	< 0,004	< 0,002	0,022	< 0,005	< 0,002	< 0,004	< 0,003	< 0,002	< 0,002	< 0,002
	EAE_S64	< 0,001	< 0,001	< 0,004	< 0,002	< 0,006	< 0,005	< 0,002	< 0,004	< 0,003	< 0,002	< 0,002	< 0,002
	EAE_S76	< 0,001	0,011	< 0,004	< 0,002	< 0,006	< 0,005	< 0,002	0,051	< 0,003	< 0,002	< 0,002	< 0,002
	EAE_S78	< 0,001	0,031	< 0,004	< 0,002	< 0,006	< 0,005	0,074	0,037	< 0,003	0,035	< 0,002	0,053
	EAE_S80	0,053	< 0,001	< 0,004	< 0,002	< 0,006	< 0,005	< 0,002	< 0,004	0,020	< 0,002	< 0,002	< 0,002
	EAE_S86	0,058	< 0,001	0,060	< 0,002	< 0,006	< 0,005	< 0,002	< 0,004	< 0,003	< 0,002	< 0,002	< 0,002
	EAE_S87	0,073	0,032	< 0,004	< 0,002	< 0,006	< 0,005	< 0,002	< 0,004	< 0,003	0,032	< 0,002	0,127
	EAE_S93	6,717	0,002	< 0,004	< 0,002	< 0,006	< 0,005	< 0,002	< 0,004	< 0,003	0,016	< 0,002	0,023
	EAE_S98	0,033	0,120	< 0,004	< 0,002	< 0,006	< 0,005	< 0,002	< 0,004	< 0,003	< 0,002	< 0,002	0,432
	EAE_S107	0,008	0,001	< 0,004	< 0,002	< 0,006	< 0,005	< 0,002	< 0,004	< 0,003	< 0,002	< 0,002	0,047
	EAE_S110	< 0,001	< 0,001	< 0,004	< 0,002	< 0,006	< 0,005	< 0,002	< 0,004	< 0,003	< 0,002	< 0,002	< 0,002

	Nome estação amostral	Fluoranteno	Pireno	Benzo(a) antraceno	Criseno	Benzo(b) fluoranteno	Benzo(k) fluoranteno	Benzo(e)pireno	Benzo(a)pireno	Perileno	Indeno(123cd) pireno	Dibenzo(ab) antraceno	Benzo(ghi) perileno
	EAE_S111	0,007	< 0,001	< 0,004	< 0,002	< 0,006	< 0,005	< 0,002	< 0,004	< 0,003	< 0,002	< 0,002	< 0,002
	EAE_S120	< 0,001	< 0,001	< 0,004	< 0,002	< 0,006	< 0,005	< 0,002	< 0,004	< 0,003	< 0,002	< 0,002	0,033

Tabela 5: Somatórios das concentrações de hidrocarbonetos policíclicos aromáticos totais, USEPA, de origem petrogênica e de origem pirolítica, expressas em $\mu\text{g.g}^{-1}$ lip.em tecido hepático de cada cetáceo coletado no estado do Espírito Santo analisado durante o Ano 1, Ano 2 e Ano 3 do PMBA/Fest-RRDM.

	Nome estação amostral	Σ Totais	Σ USEPA	Σ Petrogênicos	Σ Pirolíticos
	<i>Steno bredanensis</i>				
	EAE_S19	< 0,0002	< 0,0002	< 0,0002	< 0,001
	EAE_S4	1,531	1,523	0,104	1,426
	<i>Pontoporia blainvillei</i>				
Região 1	EAE_N51	0,038	0,038	0,036	0,002
	EAE_N53	0,188	0,188	0,023	0,165
	EAE_N61	1,058	0,933	0,095	0,963
	EAE_N62	0,034	0,034	0,005	0,030
	EAE_N67	0,985	0,874	0,157	0,828
	EAE_N81	0,104	0,077	0,100	0,004
	EAE_N95	0,444	0,444	0,060	0,384
Região 2	EAE_S44	< 0,0002	< 0,0002	< 0,0002	< 0,001
	<i>Sotalia guianensis</i>				
Região 1	EAE_N5	0,014	0,014	0,010	0,004
	EAE_N14	0,005	0,005	0,005	< 0,001
	EAE_N16	0,025	0,025	0,025	< 0,001
	EAE_N21	0,143	0,143	0,020	0,123
	EAE_N22	22,514	22,483	0,686	21,828
	EAE_N27	0,013	0,013	0,013	< 0,001
	EAE_N28	0,001	0,001	0,001	< 0,001
	EAE_N31	0,563	0,553	0,055	0,508
	EAE_N33	5,210	5,194	0,244	4,965
	EAE_N34	< 0,0002	< 0,0002	< 0,0002	< 0,001
	EAE_N36	0,104	0,089	0,019	0,085
	EAE_N37	0,643	0,643	0,002	0,641
	EAE_N39	0,179	0,159	0,020	0,159
	EAE_N40	0,214	0,214	< 0,0002	0,214
	EAE_PPN8	1,516	1,410	0,045	1,471
	EAE_PPN5	0,160	0,160	0,011	0,148
	EAE_PPN4	0,063	0,063	< 0,0002	0,063
	EAE_PPN3	0,185	0,185	0,015	0,170
	EAE_PPN2	1,096	1,096	0,097	0,999
	EAE_N41	0,333	0,333	0,003	0,330
	EAE_N42	0,083	0,083	0,010	0,073
	EAE_N48	0,142	0,142	0,012	0,131
	EAE_N49	1,285	1,285	0,077	1,207
	EAE_N50	0,007	0,007	0,007	< 0,001
	EAE_N56	0,091	0,091	0,027	0,064
	EAE_N59	0,043	0,043	0,043	< 0,001
	EAE_N60	0,036	0,036	0,036	< 0,001
	EAE_S51	0,132	0,112	0,014	0,118
	EAE_S62	0,448	0,397	0,101	0,347
	EAE_N63	0,113	0,113	0,029	0,084
	EAE_N65	2,011	1,987	0,401	1,610
	EAE_N66	0,024	0,024	< 0,0002	0,024
	EAE_N68	1,350	1,172	0,106	1,244
	EAE_N69	0,068	0,068	0,037	0,031

	Nome estação amostral	ΣTotais	ΣUSEPA	ΣPetrogênicos	ΣPirolíticos
	EAE_N77	0,601	0,601	0,008	0,593
	EAE_N79	5,037	5,037	0,047	4,991
	EAE_N82	0,040	0,040	0,015	0,025
	EAE_N85	0,709	0,709	0,392	0,316
	EAE_N88	0,622	0,569	0,052	0,570
	EAE_N90	0,351	0,351	0,351	< 0,001
	EAE_N93	0,044	0,044	0,044	< 0,001
	EAE_N96	0,011	0,011	< 0,0002	0,011
	EAE_N98	< 0,0002	< 0,0002	< 0,0002	< 0,001
	EAE_N100	0,022	0,022	< 0,0002	0,022
	EAE_N101	0,118	0,118	0,055	0,063
Região 2	EAE_N9	< 0,0002	< 0,0002	< 0,0002	< 0,001
	EAE_N19	0,697	0,697	0,032	0,666
	EAE_S22	0,871	0,725	0,030	0,841
	EAE_S30	1,171	1,171	0,016	1,155
	EAE_S61	0,056	0,029	0,030	0,026
	EAE_S65	0,192	0,171	0,046	0,146
	EAE_S91	0,659	0,639	0,632	0,026
	EAE_S92	0,334	0,334	0,290	0,044
Região 3	EAE_S6	0,026	0,026	0,026	< 0,001
	EAE_S18	0,039	0,039	0,039	< 0,001
	EAE_S27	0,149	0,149	0,053	0,096
	EAE_S32	< 0,0002	< 0,0002	< 0,0002	< 0,001
	EAE_S35	0,549	0,549	0,025	0,524
	EAE_S47	0,010	0,010	0,010	< 0,001
	EAE_S48	< 0,0002	< 0,0002	< 0,0002	< 0,001
	EAE_S50	0,317	0,293	< 0,0002	0,317
	EAE_S59	0,185	0,118	0,068	0,116
	EAE_S82	0,403	0,344	0,010	0,394
	EAE_S97	0,044	0,044	0,044	< 0,001
	EAE_S99	0,088	0,088	< 0,0002	0,088
	EAE_S100	0,184	0,184	< 0,0002	0,184
	EAE_S102	0,059	0,059	0,057	0,003
	EAE_S104	0,094	0,094	0,056	0,037
	EAE_S105	5,082	4,956	1,030	4,052
Região 4	EAE_S117	0,343	0,343	0,083	0,259
	EAE_S5	0,030	0,030	0,030	< 0,001
	EAE_S8	0,035	0,035	0,015	0,020
	EAE_S11	0,013	0,013	0,013	< 0,001
	EAE_S12	0,019	0,019	0,019	< 0,001
	EAE_S14	3,797	3,740	0,198	3,599
	EAE_S23	0,026	0,026	< 0,0002	0,026
	EAE_S28	0,312	0,312	0,046	0,266
	EAE_S37	1,225	1,225	0,107	1,118
	EAE_S39	1,390	1,390	0,082	1,308
	EAE_S42	< 0,0002	< 0,0002	< 0,0002	< 0,001
	EAE_S45	0,386	0,386	0,051	0,335
	EAE_S57	0,022	0,022	0,022	< 0,001
	EAE_S60	0,842	0,695	0,172	0,670
	EAE_S67	0,095	0,095	0,036	0,060
	EAE_S84	0,023	0,023	0,009	0,014
	EAE_S85	0,003	0,003	< 0,0002	0,003

	Nome estação amostral	Σ Totais	Σ USEPA	Σ Petrogênicos	Σ Pirolíticos
	EAE_S89	< 0,0002	< 0,0002	< 0,0002	< 0,001
	EAE_S101	0,020	0,020	0,020	< 0,001
	EAE_S103	0,146	0,146	0,083	0,064
	EAE_S106	0,679	0,679	0,060	0,619
	EAE_S109	0,027	0,027	0,027	< 0,001
	EAE_S115	0,040	0,040	0,040	< 0,001
Região 5	EAE_S7	0,069	0,069	0,027	0,042
	EAE_S9	0,010	0,010	0,010	< 0,001
	EAE_S13	0,012	0,012	0,012	< 0,001
	EAE_S17	0,346	0,346	0,006	0,340
	EAE_S25	0,014	0,014	0,014	< 0,001
	EAE_S29	< 0,0002	< 0,0002	< 0,0002	< 0,001
	EAE_S43	0,011	0,011	0,011	< 0,001
	EAE_S49	0,198	0,198	0,017	0,181
	EAE_S54	0,101	0,101	0,040	0,061
	EAE_S58	0,323	0,323	0,064	0,258
	EAE_S64	0,018	0,018	0,018	< 0,001
	EAE_S76	0,084	0,084	0,022	0,062
	EAE_S78	0,283	0,188	0,054	0,229
	EAE_S80	0,282	0,226	0,209	0,073
	EAE_S86	0,144	0,144	0,027	0,117
	EAE_S87	0,499	0,499	0,235	0,264
	EAE_S93	7,153	7,153	0,395	6,758
	EAE_S98	0,631	0,631	0,047	0,584
	EAE_S107	0,102	0,102	0,046	0,056
	EAE_S110	< 0,0002	< 0,0002	< 0,0002	< 0,001
	EAE_S111	0,052	0,052	0,045	0,007
	EAE_S120	0,072	0,072	0,038	0,033